

FONDAMENTI DI CONTROLLI AUTOMATICI

SISTEMI DINAMICI A TEMPO CONTINUO

by Chiara Moreschini
prof. S. Formentin

Sistema dinamico	Un sistema è dinamico se l'uscita $y(t)$ dipende sia dall'ingresso $u(t)$ sia dai valori passati di y e u , dunque non è sufficiente conoscere lo stato del sistema in un unico istante, ma bisogna conoscere anche le condizioni nell'istante iniziale t_0
Sist. strettamente proprio	L'uscita $y(t)$ <u>non</u> dipende esplicitamente dall'ingresso $u(t)$. Viceversa il sistema è <u>proprio</u> (non strettamente)
Sistema SISO	Ingresso e uscita sono scalari
Sistemi tempo-varianti	Le variabili di stato e/o l'uscita dipendono esplicitamente da t . In caso contrario si dicono <u>tempo-invarianti</u> o stazionari
Rappresentazione di stato	<p>Il sistema è rappresentato da n equazioni di stato (eq. differenziali del primo ordine) e da un'eq. di uscita (algebrica)</p> $\begin{cases} \dot{x}(t) = f(x(t), u(t)) \\ y(t) = g(x(t), u(t)) \end{cases}, \quad x(t_0) = x_0$ <ul style="list-style-type: none"> × n è l'<u>ordine del sistema</u> e coincide con il numero di eq. di stato (o al numero di ingressi, se ce n'è più di uno) × A, B, C, D matrici dei coefficienti × Per ricavare le rappresentazioni di stato si può utilizzare il <u>criterio matematico</u> (assegnare una variabile di stato ad ogni derivata di y) o quello <u>fisico</u> (energia potenziale associata al sistema)
	<p style="text-align: center;">Rappresentazione di stato di un sistema LTI SISO di ordine n:</p> $\begin{cases} \dot{x}(t) = Ax(t) + Bu(t) \\ y(t) = Cx(t) + Du(t) \end{cases}$

MOVIMENTO DI EQUILIBRIO

Movimento del sistema	<p>Significa conoscere le configurazioni del sistema in ogni istante successivo a quello iniziale t_0</p> $\begin{aligned} x(t), t > t_0 & \text{ movimento dello stato} \\ y(t), t > t_0 & \text{ movimento dell'uscita} \end{aligned}$ <p>× Il movimento dello stato si ottiene integrando mentre quello dell'uscita sostituendo</p>
Movimento di equilibrio	<p>Un movimento è uno stato di equilibrio se in corrispondenza di un ingresso costante si ottengono uno stato e un'uscita costanti</p> $u(t) = \bar{u} \quad \rightarrow \quad \begin{cases} x(t) = \bar{x} \\ y(t) = \bar{y} \end{cases} \quad \rightarrow \quad \begin{cases} \dot{x}(t) = 0 \\ \dot{y}(t) = 0 \end{cases}$ <p>× Un sistema LTI ammette un solo equilibrio, mentre uno non lineare ne ammette n</p>
Formule di Lagrange	<p>Il movimento di un sistema lineare tempo invariante è dato dalla somma di un movimento libero e un movimento forzato, che compaiono sia nel movimento dello stato che di uscita (sistemi <u>SISO</u>)</p> $\text{Ingresso:} \quad x(t) = e^{At}x_0 + \int_0^t e^{A(t-\tau)}B u(\tau) d\tau$ $\text{Uscita:} \quad y(t) = C e^{At}x_0 + C \int_0^t e^{A(t-\tau)}B u(\tau) d\tau + Du(t)$ <p>× Se il sistema è di <u>ordine 1</u> compaiono solo i coefficienti scalari si hanno a, b, c, d. se invece è di <u>ordine $n > 1$</u> compaiono le matrici dei coefficienti A, B, C, D (che si ricavano dalla rappresentazione di stato)</p> <p>× Il movimento libero dello stato e dell'uscita dipendono solo dallo <u>stato iniziale</u></p> <p>× Il movimento forzato dello stato e dell'uscita dipendono solo dall'<u>ingresso</u></p> <p>× Se il sistema è lineare ma $\det(A)=0$, il sistema può avere infinite o nessuna soluzione</p> <p>× Poiché si considerano sistemi lineari, vale il <u>principio di sovrapposizione degli effetti</u></p>
Guadagno statico	<p>Rapporto tra uscita di equilibrio e ingresso di equilibrio; è costante solo per i sistemi lineari</p> $\mu = \frac{\bar{y}}{\bar{u}} = \text{cost}$
Sistemi equivalenti ed equilibrio	<p>Sia T una matrice non singolare</p> $\begin{cases} \dot{x}(t) = Ax(t) + Bu(t) \\ y(t) = Cx(t) + Du(t) \end{cases} \rightarrow \tilde{x}(t) = Tx(t) \rightarrow \begin{cases} \dot{\tilde{x}}(t) = \tilde{A}\tilde{x}(t) + \tilde{B}u(t) \\ y(t) = \tilde{C}\tilde{x}(t) + \tilde{D}u(t) \end{cases}$ $\text{Equilibrio:} \quad \bar{x} = -A^{-1}B\bar{u} \rightarrow \bar{\tilde{x}} = -TA^{-1}B\bar{u}$ <p>× Cambiano le matrici dei coefficienti ma viene rappresentato sempre lo stesso sistema dinamico</p> <p>× <u>L'equilibrio però rimane invariato</u>, a patto che A sia non singolare, quindi invertibile</p>

LINEARIZZAZIONE

Formule di Lagrange	<p>Al sistema non lineare si può sostituire un <i>approssimante tangente lineare</i> nell'intorno del punto di equilibrio</p> $\begin{cases} \delta \dot{x}(t) = \frac{\partial f}{\partial x}(\bar{x}, \bar{u}) \delta x(t) + \frac{\partial f}{\partial u}(\bar{x}, \bar{u}) \delta u(t) \\ \delta y(t) = \frac{\partial g}{\partial x}(\bar{x}, \bar{u}) \delta x(t) + \frac{\partial g}{\partial u}(\bar{x}, \bar{u}) \delta u(t) \end{cases}$ <ul style="list-style-type: none"> × Linearizzazione valida solo per piccoli spostamenti δ ($u(t) = \bar{u} + \delta u(t)$, $x(0) = \bar{x} + \delta \bar{x}$, $x(t) = \bar{x} + \delta x(t)$) × Per linearizzare il sistema bisogna prima trovare tutti i punti di equilibrio e poi applicare le formule di Lagrange per ogni punto trovato × I valori di \bar{x}, \bar{u} vanno sostituiti <i>dopo</i> aver derivato
Sistema approssimato	

STABILITÀ

Teoria di Lyapunov	<p>La stabilità è una proprietà <i>locale</i> tale per cui un sistema dopo una perturbazione tende a tornare nella condizione iniziale stabile.</p> <p>se $\begin{cases} u(t) = \bar{u} \quad \forall t \geq 0 \\ x(0) = \bar{x} \end{cases}$ e il sistema è stabile $\Rightarrow x(t) = \bar{x} \quad \forall t \geq 0$</p> <ul style="list-style-type: none"> × L'equilibrio può essere riferito ad un movimento o a un equilibrio × Solo nel caso dei sistemi lineari può essere riferito al sistema (poiché i sistemi lineari ammettono un unico punto di equilibrio) 						
Tipi di equilibrio	<p>Definiamo le seguenti quantità:</p> $\begin{cases} u(t) = \bar{u} \quad \forall t \geq 0 \\ x(0) = \bar{x} \end{cases} \Rightarrow x(t) = \bar{x} \quad \text{movimento nominale}$ $\begin{cases} u(t) = \bar{u} \quad \forall t \geq 0 \\ x(0) = \bar{x} + \delta \bar{x} \end{cases} \Rightarrow x(t) = \bar{x} + \delta x(t) \quad \text{movimento perturbato}$ <p style="text-align: center;">$\delta x(t)$ perturbazione</p> <table border="1" style="width: 100%; border-collapse: collapse;"> <tr> <td style="width: 30%;">Stabilità semplice:</td><td>$\forall \varepsilon > 0 \exists \delta_\varepsilon > 0: \forall \delta \bar{x}: \text{ se } \ \delta \bar{x}\ < \delta_\varepsilon \text{ allora } \ \delta x(t)\ < \varepsilon$</td></tr> <tr> <td>Asintotica stabilità:</td><td> $\lim_{t \rightarrow \infty} \ \delta x(t)\ = 0$ <ul style="list-style-type: none"> × La perturbazione del movimento $\delta x(t)$ è nulla all'infinito </td></tr> <tr> <td>Instabilità:</td><td>un equilibrio è instabile se non è stabile</td></tr> </table>	Stabilità semplice:	$\forall \varepsilon > 0 \exists \delta_\varepsilon > 0: \forall \delta \bar{x}: \text{ se } \ \delta \bar{x}\ < \delta_\varepsilon \text{ allora } \ \delta x(t)\ < \varepsilon$	Asintotica stabilità:	$\lim_{t \rightarrow \infty} \ \delta x(t)\ = 0$ <ul style="list-style-type: none"> × La perturbazione del movimento $\delta x(t)$ è nulla all'infinito 	Instabilità:	un equilibrio è instabile se non è stabile
Stabilità semplice:	$\forall \varepsilon > 0 \exists \delta_\varepsilon > 0: \forall \delta \bar{x}: \text{ se } \ \delta \bar{x}\ < \delta_\varepsilon \text{ allora } \ \delta x(t)\ < \varepsilon$						
Asintotica stabilità:	$\lim_{t \rightarrow \infty} \ \delta x(t)\ = 0$ <ul style="list-style-type: none"> × La perturbazione del movimento $\delta x(t)$ è nulla all'infinito 						
Instabilità:	un equilibrio è instabile se non è stabile						

Stabilità dei sistemi LTI:

Studio della stabilità	<p>Per studiare la stabilità di un sistema LTI è sufficiente studiare come si comporta la perturbazione del movimento $\delta x(t)$ all'infinito</p> <p><u>Movimento perturbato:</u> $x(t) = e^{At}(\bar{x} + \delta\bar{x}) + \int_0^t e^{A(t-\tau)} B \bar{u} d\tau = \bar{x} + \delta x(t)$ $\rightarrow \delta x(t) = x(t) - \bar{x} = e^{At} \delta\bar{x}$</p> <p>A.S. $\Leftrightarrow \lim_{t \rightarrow \infty} e^{At} = 0$ STABILITÀ $\Leftrightarrow \lim_{t \rightarrow \infty} e^{At}$ converge INSTABILITÀ $\Leftrightarrow \lim_{t \rightarrow \infty} e^{At}$ diverge</p> <p>× Non dipende dal particolare equilibrio dunque si può parlare di stabilità del sistema</p>	
Analisi delle matrici di transizione (A)	A scalare:	<p>A.S. $\Leftrightarrow a < 0$ STABILITÀ $\Leftrightarrow a \leq 0$ INSTABILITÀ $\Leftrightarrow a > 0$</p>
	A diagonale:	<p>A.S. $\Leftrightarrow s_i < 0, \forall i$ STABILITÀ $\Leftrightarrow s_i \leq 0, \forall i$ INSTABILITÀ $\Leftrightarrow \exists s_i > 0$</p>
	A con autovalori reali distinti:	<p>A.S. $\Leftrightarrow s_i < 0, \forall i$ STABILITÀ $\Leftrightarrow s_i \leq 0, \forall i$ INSTABILITÀ $\Leftrightarrow \exists s_i > 0$</p>
	A con autovalori complessi:	<p>A.S. $\Leftrightarrow \text{Re}(s_i) < 0, \forall i$ STABILITÀ $\Leftrightarrow \text{Re}(s_i) \leq 0, \forall i$ INSTABILITÀ $\Leftrightarrow \exists \text{Re}(s_i) > 0$</p>
	A con autovalori reali multipli:	<ul style="list-style-type: none"> - <u>A diagonalizzabile</u>: si ricade nel caso 2 - <u>A non diagonalizzabile</u>: sia s_m l'autovalore multiplo <p>A.S. $\Leftrightarrow s_m < 0$ INSTABILITÀ $\Leftrightarrow s_m \geq 0$</p> <p><i>Se esiste più di un autovalore con parte reale nulla l'equilibrio è instabile se tali autovalori hanno molteplicità geometrica < alla molteplicità algebrica; viceversa è stabile.</i></p>
	IN GENERALE:	<p>A.S. $\Leftrightarrow \text{Re}(s_i) < 0, \forall i$ STABILITÀ $\Leftrightarrow \text{Re}(s_i) \leq 0, \forall i$ $\exists! \text{Re}(s_i) = 0$ INSTABILITÀ $\Leftrightarrow \exists \text{Re}(s_i) > 0$</p> <p>× Solo la prima è una CNS, le altre sono solo CS × Una coppia di complessi coniugati conta come un solo autovalore</p>

Autovalori (s_i)	$\det(SI - A) = 0$
Polinomio caratteristico	$\varphi(s) = \varphi_0 s^n + \varphi_1 s^{n-1} + \varphi_2 s^{n-2} + \dots + \varphi_n$
Numeri complessi coniugati	<p>$s_1 = \sigma + j\omega$, $s_2 = \sigma - j\omega$ <i>j: unità immaginaria, $\text{Re}(s_1) = \text{Re}(s_2) = \sigma$, $\text{Im}(s_1) = \text{Im}(s_2) = \omega$</i></p> <p><u>Forma esponenziale:</u> $s_1 = e^{\sigma+j\omega}$, $s_2 = e^{\sigma-j\omega}$</p> <p><u>Formula di Eulero:</u> $s_1 = e^{\sigma}(\cos\omega + j\sin\omega)$, $s_2 = e^{\sigma}(\cos\omega - j\sin\omega)$</p>

Proprietà dei sistemi LTI stabili	<ol style="list-style-type: none"> 1. Un sistema LTI A.S. spostato dall'equilibrio tende a tornare spontaneamente all'equilibrio * 2. Fissando $u(t) = \bar{u} \quad \forall t \geq 0$, \bar{x} è unico se $\det A \neq 0$ 3. Se il sistema è AS, il movimento dello stato $x(t)$ dipende asintoticamente unicamente da $u(t)$ * 4. Se $u(t)=0$ e il sistema è AS, allora il movimento dello stato tende asintoticamente a zero 5. Se $u(t) = \bar{u}$ e il sistema è AS, $y(t)$ tende asintoticamente al valore di regime $\bar{y} = \mu \bar{u}$ 6. <u>Stabilità esterna</u>: se $u(t)$ è limitato e il sistema è AS, anche $x(t)$ e $y(t)$ sono limitati <p>* Modificando la condizione iniziale si modifica solo il movimento libero, che però nei sistemi AS si annulla asintoticamente [$e^{At}x_0 \rightarrow 0$]</p>												
Criteri di verifica della stabilità	<p>Servono a determinare la stabilità di un sistema senza calcolare esplicitamente gli autovalori di A</p> <table> <tr> <td>A triangolare:</td><td>$A.S. \iff a_{ii} < 0, \forall i \quad (CS)$</td></tr> <tr> <td>Traccia:</td><td> $A.S. \implies trA < 0 \quad (CN)$ $INSTABILITÀ \iff trA > 0 \quad (CS)$ × La traccia è la somma di tutti gli elementi sulla diagonale principale e corrisponde anche alla somma della parte reale di tutti gli autovalori </td></tr> <tr> <td>Determinante:</td><td>$A.S. \implies \det A \neq 0, (-1)^n \det A > 0 \quad (CN)$</td></tr> <tr> <td>Polinomio caratteristico (n=2):</td><td>$A.S. \iff \varphi_0, \varphi_1, \varphi_2 \neq 0 \text{ e concordi} \quad (CNS)$</td></tr> <tr> <td>Polinomio caratteristico (n>2):</td><td> $A.S. \implies \varphi_0, \varphi_1, \dots, \varphi_n \neq 0 \text{ e concordi} \quad (CN)$ × Per ordini $n > 2$ questo criterio è solo necessario e non più necessario e sufficiente, come nel caso $n=2$ </td></tr> <tr> <td>Criterio di Routh:</td><td> $A.S. \iff \text{coeff. della 1° colonna della tabella di Routh} \neq 0 \text{ e concordi} \quad (CNS)$ × Criterio più generale possibile per sistemi LTI </td></tr> </table>	A triangolare:	$A.S. \iff a_{ii} < 0, \forall i \quad (CS)$	Traccia:	$A.S. \implies trA < 0 \quad (CN)$ $INSTABILITÀ \iff trA > 0 \quad (CS)$ × La traccia è la somma di tutti gli elementi sulla diagonale principale e corrisponde anche alla somma della parte reale di tutti gli autovalori	Determinante:	$A.S. \implies \det A \neq 0, (-1)^n \det A > 0 \quad (CN)$	Polinomio caratteristico (n=2):	$A.S. \iff \varphi_0, \varphi_1, \varphi_2 \neq 0 \text{ e concordi} \quad (CNS)$	Polinomio caratteristico (n>2):	$A.S. \implies \varphi_0, \varphi_1, \dots, \varphi_n \neq 0 \text{ e concordi} \quad (CN)$ × Per ordini $n > 2$ questo criterio è solo necessario e non più necessario e sufficiente, come nel caso $n=2$	Criterio di Routh:	$A.S. \iff \text{coeff. della 1° colonna della tabella di Routh} \neq 0 \text{ e concordi} \quad (CNS)$ × Criterio più generale possibile per sistemi LTI
A triangolare:	$A.S. \iff a_{ii} < 0, \forall i \quad (CS)$												
Traccia:	$A.S. \implies trA < 0 \quad (CN)$ $INSTABILITÀ \iff trA > 0 \quad (CS)$ × La traccia è la somma di tutti gli elementi sulla diagonale principale e corrisponde anche alla somma della parte reale di tutti gli autovalori												
Determinante:	$A.S. \implies \det A \neq 0, (-1)^n \det A > 0 \quad (CN)$												
Polinomio caratteristico (n=2):	$A.S. \iff \varphi_0, \varphi_1, \varphi_2 \neq 0 \text{ e concordi} \quad (CNS)$												
Polinomio caratteristico (n>2):	$A.S. \implies \varphi_0, \varphi_1, \dots, \varphi_n \neq 0 \text{ e concordi} \quad (CN)$ × Per ordini $n > 2$ questo criterio è solo necessario e non più necessario e sufficiente, come nel caso $n=2$												
Criterio di Routh:	$A.S. \iff \text{coeff. della 1° colonna della tabella di Routh} \neq 0 \text{ e concordi} \quad (CNS)$ × Criterio più generale possibile per sistemi LTI												
Tabella di Routh	<table> <tr> <td> $\begin{array}{cccccc} \varphi_0 & \varphi_2 & \varphi_4 & \dots & 0 \\ \varphi_1 & \varphi_3 & \varphi_5 & & 0 \\ & \dots & & & \dots \\ h_1 & h_2 & h_3 & \dots & 0 \\ k_1 & k_2 & k_3 & & 0 \\ l_1 & l_2 & l_3 & \dots & 0 \end{array}$ </td><td> <p>elemento generico:</p> $l_j = -\frac{1}{k_1} \det \begin{bmatrix} h_1 & h_{j+1} \\ k_1 & k_{j+1} \end{bmatrix}$ </td></tr> </table> <p> × Nella prima riga coefficienti pari del polinomio caratteristico, nella seconda quelli dispari × Ultima colonna di zeri poiché il determinante non è più calcolabile × J colonne e (n+1) righe </p>	$ \begin{array}{cccccc} \varphi_0 & \varphi_2 & \varphi_4 & \dots & 0 \\ \varphi_1 & \varphi_3 & \varphi_5 & & 0 \\ & \dots & & & \dots \\ h_1 & h_2 & h_3 & \dots & 0 \\ k_1 & k_2 & k_3 & & 0 \\ l_1 & l_2 & l_3 & \dots & 0 \end{array} $	<p>elemento generico:</p> $l_j = -\frac{1}{k_1} \det \begin{bmatrix} h_1 & h_{j+1} \\ k_1 & k_{j+1} \end{bmatrix}$										
$ \begin{array}{cccccc} \varphi_0 & \varphi_2 & \varphi_4 & \dots & 0 \\ \varphi_1 & \varphi_3 & \varphi_5 & & 0 \\ & \dots & & & \dots \\ h_1 & h_2 & h_3 & \dots & 0 \\ k_1 & k_2 & k_3 & & 0 \\ l_1 & l_2 & l_3 & \dots & 0 \end{array} $	<p>elemento generico:</p> $l_j = -\frac{1}{k_1} \det \begin{bmatrix} h_1 & h_{j+1} \\ k_1 & k_{j+1} \end{bmatrix}$												

Stabilità dei sistemi non lineari:

Studio della stabilità	<p>Si linearizzano nell'intorno dell'equilibrio e si studiano come sistemi LTI</p> <ul style="list-style-type: none"> × La stabilità è sempre legata all'equilibrio e non è una proprietà del sistema × L'unica eccezione è che se c'è anche un solo autovalore nullo non si può dire nulla sulla stabilità dell'equilibrio <p style="text-align: center;">$s_i < 0 \implies ?$</p>
-------------------------------	---

TRASFORMATA E ANTI-TRASFORMATA DI LAPLACE

Trasformata \mathcal{L} :

Dominio di Laplace	$u(t)$ $U(s)$ $y(t)$ $Y(s)$ <ul style="list-style-type: none"> × Il dominio di Laplace permette di calcolare le uscite tramite equazioni algebriche, invece di quelle differenziali nel dominio del tempo × Per ottenere le uscite nel dominio del tempo si applica poi l'antitrasformata × Il dominio di Laplace non ha un'interpretazione fisica come quello del tempo ma ha un vantaggio computazionale 										
Trasformata (def)	$f(t): R \rightarrow C \xrightarrow{\mathcal{L}} F(s): C \rightarrow C$ $F(s) = \mathcal{L}[f(t)] = \int_0^{\infty} f(t) e^{-st} dt$ <ul style="list-style-type: none"> × Per ottenere la trasformata di una funzione non si applica quasi mai la definizione ma si risale ad essa utilizzando le trasformate note dei segnali canonici e le proprietà delle trasformate (linearità, traslazione, derivazione, ...) × s: numero complesso 										
Linearità	$\mathcal{L}[\alpha f(t) + \beta g(t)] = \alpha \mathcal{L}[f(t)] + \beta \mathcal{L}[g(t)]$										
Segnali canonici	<ol style="list-style-type: none"> $sca(t) = \begin{cases} 0 & t < 0 \\ 1 & t \geq 0 \end{cases}$ $imp(t) = \lim_{\varepsilon \rightarrow 0} f_{\varepsilon}(t) = \lim_{\varepsilon \rightarrow 0} \begin{cases} 0 & t < 0 \cup t > \varepsilon \\ \frac{1}{\varepsilon} & 0 < t < \varepsilon \end{cases}$ $ram(t) = t \quad t \geq 0$ 										
Legame tra i segnali canonici	$imp(t) = \frac{d}{dt} sca(t) \quad ram(t) = t sca(t)$ <ul style="list-style-type: none"> × Tutte le funzioni possono essere viste come fattori che moltiplicano sca(t), poiché esso vale 1 per $t > 0$ 										
Trasformate notevoli	<table> <tr> <td>Scalino:</td><td>$\mathcal{L}[sca(t)] = \frac{1}{s}$</td></tr> <tr> <td>Impulso:</td><td>$\mathcal{L}[imp(t)] = 1$</td></tr> <tr> <td>Rampa:</td><td>$\mathcal{L}[ram(t)] = \frac{1}{s^2}$</td></tr> <tr> <td>Seno:</td><td>$\mathcal{L}[sen(\omega t)] = \frac{\omega}{s^2 + \omega^2}$</td></tr> <tr> <td>Coseno:</td><td>$\mathcal{L}[cos(\omega t)] = \frac{s}{s^2 + \omega^2}$</td></tr> </table>	Scalino:	$\mathcal{L}[sca(t)] = \frac{1}{s}$	Impulso:	$\mathcal{L}[imp(t)] = 1$	Rampa:	$\mathcal{L}[ram(t)] = \frac{1}{s^2}$	Seno:	$\mathcal{L}[sen(\omega t)] = \frac{\omega}{s^2 + \omega^2}$	Coseno:	$\mathcal{L}[cos(\omega t)] = \frac{s}{s^2 + \omega^2}$
Scalino:	$\mathcal{L}[sca(t)] = \frac{1}{s}$										
Impulso:	$\mathcal{L}[imp(t)] = 1$										
Rampa:	$\mathcal{L}[ram(t)] = \frac{1}{s^2}$										
Seno:	$\mathcal{L}[sen(\omega t)] = \frac{\omega}{s^2 + \omega^2}$										
Coseno:	$\mathcal{L}[cos(\omega t)] = \frac{s}{s^2 + \omega^2}$										

	Traslazione:	$\mathcal{L}[f(t - \tau)] = e^{-s\tau} F(s)$
--	---------------------	--

Dominio del tempo		<ul style="list-style-type: none"> × Traslare nel dominio del tempo equivale a moltiplicare per una quantità $e^{-s\tau}$ × $\tau > 0$ è detto <u>ritardo</u>
	Derivazione:	$\mathcal{L}\left[\frac{d}{dt} f(t)\right] = sF(s) - f(0)$ <ul style="list-style-type: none"> × Derivare nel dominio del tempo equivale a moltiplicare per s × Bisogna sottrarre anche il valore iniziale nel dominio del tempo! $f(t=0)$ × La proprietà si estende anche alla derivata n-esima $\mathcal{L}\left[\frac{d^n}{dt^n} f(t)\right] = s^n F(s) - s^{n-1} f(0) - \dots - \frac{d^{n-1}}{dt^{n-1}} f(t) \Big _{t=0}$
	Integrazione:	$\mathcal{L}\left[\int_0^t f(t) dt\right] = \frac{1}{s} F(s)$ <ul style="list-style-type: none"> × Derivare nel dominio del tempo equivale a dividere per s
Dominio di Laplace	Traslazione:	$F(s-a) = \mathcal{L}[e^{at} f(t)]$ <ul style="list-style-type: none"> × Traslare nel dominio dei Laplace equivale a moltiplicare per una quantità e^{at} × C'è simmetria tra i due domini perché l'operazione di traslazione è analoga in entrambi
	Derivazione:	$-\frac{dF(s)}{ds} = \mathcal{L}[t f(t)]$ <ul style="list-style-type: none"> × Derivare nel dominio di Laplace equivale a moltiplicare per t e cambiare di segno
Poli e zeri di G(s)	Quasi tutte le trasformate di Laplace sono fratte, tranne una che è esponenziale. Si dicono zeri le radici del numeratore di G(s) e poli le radici del denominatore $G(s) = \frac{N(s)}{D(s)} \quad \begin{array}{l} \text{Zeri: } N(s) = 0 \\ \text{Poli: } D(s) = 0 \end{array}$	

Antitrasformata \mathcal{L}^{-1} :

Antitrasformata	$f(t) = \mathcal{L}^{-1}[F(s)]$ <ul style="list-style-type: none"> × Non si calcola mai esplicitamente ma si ricorre a dei teoremi (valore iniziale, finale, Heaviside)
Th. del valore iniziale	$\lim_{s \rightarrow \infty} s F(s) = f(0)$ <ul style="list-style-type: none"> × Si può applicare anche alla derivata per trovare la <i>pendenza iniziale</i> del grafico $\lim_{s \rightarrow \infty} s \mathcal{L}\left[\frac{d}{dt} f(t)\right] = \lim_{s \rightarrow \infty} s [s F(s) - f(0)] = \frac{d}{dt} f(0)$
Th. del valore finale	<u>Ipotesi:</u> $F(s)$ ha solo poli con parte reale negativa o poli nulli $\lim_{s \rightarrow 0} s F(s) = f(\infty)$ <ul style="list-style-type: none"> × Se F(s) ha poli del tipo $\pm j\omega$ il teorema non è applicabile

Sviluppo di Heaviside	<p><u>Ipotesi:</u> Grado denominatore (n) > grado numeratore (m)</p> $F(s) = \frac{N(s)}{D(s)}$ <p>× Scomponiamo $F(s)$ in frazioni più semplici la cui trasformata è nota</p>
	<p>Poli reali distinti:</p> $D(s) = a_0(s + p_1)(s + p_2) \dots$ $F(s) = \frac{\alpha}{s + p_1} + \frac{\beta}{s + p_2} + \dots$ $\rightarrow f(t) = \alpha e^{-p_1 t} + \beta e^{-p_2 t} + \dots$ <p>× Poli: $-p_1, -p_2, \dots$ se $p=0$, $f(t) = \alpha \text{ sca}(t)$</p>
	<p>Poli reali multipli:</p> $D(s) = \dots (s + p)^k \dots$ $F(s) = \dots + \frac{\beta_1}{s + p} + \frac{\beta_2}{(s + p)^2} + \dots + \frac{\beta_k}{(s + p)^k} + \dots$ $\rightarrow f(t) = \dots + \beta_1 e^{-p t} + \beta_2 \text{ram}(t) e^{-p t} + \dots$ <p>× Si aggiungono tanti fattori quanto è il grado del polo (k)</p> <p>× $\beta_2 \text{ram}(t) e^{-p t} = \beta_2 t e^{-p t}$</p>
	<p>Poli complessi coniugati:</p> $D(s) = \dots (s - \sigma - j\omega)(s - \sigma + j\omega) \dots$ $F(s) = \dots + \frac{\beta s + \gamma}{(s - \sigma)^2 + \omega^2} + \dots =$ $= \dots + \beta \frac{s - \sigma}{(s - \sigma)^2 + \omega^2} + \frac{\gamma + \beta \sigma}{\omega} \frac{\omega}{(s - \sigma)^2 + \omega^2} + \dots$ $\rightarrow f(t) = \dots + \beta \cos(\omega t) e^{\sigma t} + \frac{\gamma + \beta \sigma}{\omega} \text{sen}(\omega t) e^{\sigma t} + \dots$ <p>× N. complessi: $(s - \sigma - j\omega)(s - \sigma + j\omega) = (s - \sigma)^2 + \omega^2$</p> <p>× Si riduce la trasformata ad una somma delle trasformate di seno e coseno moltiplicate per una costante</p>
	<p>Grado $m=n$:</p> $F(s) = \dots + \alpha_0$ $\rightarrow f(t) = \dots + \alpha_0 \text{imp}(t)$ <p>× Se il grado di numeratore e denominatore sono uguali bisogna aggiungere una costante alla scomposizione in frazioni semplici e quindi anche all'antitrasformata</p> <p>× Ma $\alpha_0 \text{imp}(t) = \alpha_0$ poiché $\text{imp}(t) = 1$</p>

FUNZIONI DI TRASFERIMENTO

Definizione	<p>La FdT $G(s)$ di un sistema è il rapporto tra le trasformate di Laplace di uscita ed ingresso</p> $\begin{cases} X(s) = (sI - A)^{-1}x(0) + (sI - A)^{-1}BU(s) \\ Y(s) = C(sI - A)^{-1}x(0) + C(sI - A)^{-1}BU(s) + DU(s) \end{cases} \cup x(0) = 0$ $Y(s) = [C(sI - A)^{-1}B + D] U(s) \Rightarrow G(s) = \frac{Y(s)}{U(s)} = C(sI - A)^{-1}B + D$ <ul style="list-style-type: none"> × A partire dalla rappresentazione di stato (dominio del tempo) ricaviamo ingresso e uscita nel dominio di Laplace × La FdT si può interpretare come l'uscita nel dominio di Laplace quando l'ingresso è uno scalino, quindi come la <u>risposta del sistema allo scalino</u> ($u(t) = sca(t) \rightarrow U(s) = 1 \rightarrow G(s) = Y(s) \cdot 1$) × Tale definizione vale solo se si considera la <u>condizione iniziale nulla!</u>
Stabilità (poli e zeri)	$C(sI - A)^{-1}B + D = \frac{1}{\det(sI - A)} CK(s)B + D \rightarrow G(s) = \frac{Y(s)}{\varphi(s)}$ <p style="text-align: center;">ASINTOTICA STABILITÀ $\Leftrightarrow Re(poli) < 0$</p> <ul style="list-style-type: none"> × $\varphi(s)$ è il polinomio caratteristico di A e coincide con il denominatore della FdT × La stabilità del sistema nel dominio del tempo dipende dagli autovalori di A ($Re < 0$), ma poiché essi coincidono con i poli della FdT, nel dominio di Laplace la stabilità sarà data dal segno dei poli di $G(s)$ × Valgono le stesse considerazioni fatte sul segno degli autovalori × Per costruzione il grado di $N(s)$ non può mai essere superiore a quello di $\varphi(s)$
Cancellazioni illecite	<p>Se ci sono delle cancellazioni tra numeratore e denominatore della FdT si possono avere delle dinamiche nascoste, ovvero la FdT non rappresenta correttamente tutte le variabili di stato, ma alcune rimangono nascoste</p> <ul style="list-style-type: none"> × La rappresentazione di stato è detta <u>rappresentazione interna</u> perché ci dice sempre tutto sul sistema × La FdT è detta <u>rappresentazione esterna</u> poiché ci dice tutto sul sistema solo se non ci sono cancellazioni
Parametrizzazioni della FdT	<ol style="list-style-type: none"> $G(s) = \frac{\beta_m s^m + \dots + \beta_1 s + \beta_0}{\alpha_n s^n + \dots + \alpha_1 s + \alpha_0}$ $G(s) = \rho \frac{\prod_{i=1}^m (s - z_i)}{\prod_{i=1}^n (s - p_i)}$ $G(s) = \frac{\mu \prod_{i=1}^m (1 + sT_i)}{s^g \prod_{i=1}^n (1 + \tau_i)}$ <ul style="list-style-type: none"> × La rappresentazione 2 è utile per individuare subito zeri e poli (ρ costante di trasferimento, z zeri, p poli) × La rappresentazione 3 è utile nel tracciamento dei diagrammi di Bode (μ guadagno della FdT, τ e T costanti di tempo, g tipo) × La rappresentazione 3 si ricava dalla 2 raccogliendo zeri e poli in modo da ottenere un fattore del tipo $(1 + \dots s)$
Guadagno statico e generalizzato	$g = 0 \rightarrow \text{guadagno statico } \mu = G(0) = \frac{\bar{y}}{\bar{u}}$ $g \neq 0 \rightarrow \text{guadagno generalizzato } \mu = \lim_{s \rightarrow 0} s^g G(s)$ <ul style="list-style-type: none"> × Se non ci sono poli in zero il guadagno della FdT è uguale al guadagno statico ottenuto come rapporto tra uscita e ingresso costanti × Se ci sono poli in zero si parla di guadagno generalizzato della FdT e non ha alcuna relazione con il guadagno statico del sistema!

SCHEMI A BLOCCHI

Blocco	Un blocco in generale è una relazione tra la variabile di ingresso e quella di uscita × Per convenzione i segnali si indicano nel dominio del tempo mentre i blocchi nel dominio di Laplace	
Algebra dei blocchi	Blocco:	$G(s) = \frac{Y(s)}{U(s)}$
	Nodo sommatore:	$Y(s) = U(s) \pm V(s)$
	Punto di diramazione:	$Y(s) = U(s) = V(s)$
	× Le frecce non indicano le direzioni dei segnali ma solo se sono in ingresso o in uscita al blocco!	
Blocchi in serie	$G(s) = \frac{Y(s)}{U(s)} = G_1(s) \cdot G_2(s)$	
Blocchi in parallelo	$G(s) = \frac{Y(s)}{U(s)} = G_1(s) + G_2(s)$ × Due blocchi uniti a monte da una diramazione (medesima u per entrambi i blocchi) e a valle da un nodo sommatore	
Blocchi in retroazione	$G(s) = \frac{Y(s)}{U(s)} = \frac{G_1(s)}{1 \mp G_1(s)G_2(s)}$ $G(s) = \frac{FdT \text{ in andata}}{1 \mp FdT \text{ d'anello}}$ × La retroazione può essere sia positiva sia negativa; Il segno del segnale in retroazione viene cambiato al denominatore × La FdT in andata è il prodotto di tutte le FdT dei blocchi del <i>ramo di andata</i> × La FdT d'anello è il prodotto di tutte le FdT dei blocchi sia sul ramo di andata sia sul <i>ramo di ritorno</i> ; la FdT di anello è anche detta loop function $L(s) = G_1(s)G_2(s)$ × Se nel ramo di andata ci sono dei nodi sommatori si può applicare il principio di sovrapposizione degli effetti (grazie alla linearità del problema) e considerare il contributo totale come somma dei casi in cui uno solo dei rami rimane acceso	

Stabilità	<i>Serie e parallelo:</i>	<p>$poli\ di\ G(s) = poli\ di\ G_1(s) + poli\ di\ G_2(s)$</p> <p>$G(s)\ AS.STABILE \Leftrightarrow G_1(s), G_2(s)\ AS.STABILI$</p> <ul style="list-style-type: none"> × Il sistema è stabile solo se lo sono tutti i suoi sottosistemi poiché il denominatore della FdT finale è semplicemente il prodotto dei denominatori delle singole FdT, quindi i poli finali sono la somma di tutti i singoli poli di partenza × Considerazioni valide in assenza di cancellazioni illecite, poiché se avvengono delle cancellazioni potrebbero esserci delle dinamiche nascoste che rendono il sistema instabile (se vengono cancellati poli con $Re \geq 0$)
	<i>Retroazione:</i>	<p>$poli\ di\ G(s) \neq poli\ di\ G_1(s) + poli\ di\ G_2(s)$</p> <p>$G(s)\ AS.STABILE \nLeftrightarrow G_1(s), G_2(s)\ AS.STABILI$</p> <ul style="list-style-type: none"> × I poli della FdT finale non coincidono più con quelli dei singoli blocchi dunque la stabilità dei singoli blocchi <u>non</u> influenza quella finale × Il motivo per cui i sistemi in anello chiuso sono molto usati è proprio che a partire da blocchi instabili si può ottenere un sistema complessivamente stabile

ANALISI DELLE PRESTAZIONI: RISPOSTA ALLO SCALINO

Analisi delle prestazioni	<p>Ci sono vari <u>indicatori di performance</u> di un sistema:</p> <ul style="list-style-type: none"> - Studio della risposta del sistema ad ingressi canonici (quanto velocemente e in che modo il sistema risponde all'ingresso) - Stabilità del sistema - Studio della risposta in frequenza - Ecc... 			
Relazione tra scalino e ingressi canonici		<i>imp(t)</i>	<i>sca(t)</i>	<i>ram(t)</i>
	<i>Relazione con lo scalino</i>	$\frac{d}{dt} sca(t)$	$sca(t)$	$\int_0^t sca(\tau) dt$
	<i>Trasformata di Laplace</i>	1	$\frac{1}{s}$	$\frac{1}{s^2}$
	<i>Relazione con la risposta</i>	$\frac{d}{dt} [risposta\ allo\ scalino]$	<i>risposta allo scalino</i>	$\int_0^t [risposta\ allo\ scalino]$
Risposta allo scalino	<p>La risposta allo scalino è uno degli indicatori di performance del sistema ed è molto utile perché grazie alle relazioni con gli altri segnali canonici si possono ricavare i comportamenti dei sistemi in risposta ai vari segnali a partire solo dalla risposta allo scalino</p> <p>× La risposta allo scalino da informazioni su come il sistema risponde a <i>variazioni repentine</i> dell'ingresso</p>			
Parametri caratteristici	<p> t_p: tempo di picco t_a: tempo di assestamento t_r: tempo di ritardo t_s: tempo di salita y_p: valore di picco y_∞: valore di regime A: sovraelongazione massima Δ: sovraelongazione massima relativa </p> $A = y_p - y_\infty \quad \Delta = \frac{A}{y_\infty} \quad t_a \cong 5\tau$			

Analizziamo ora il comportamento dei vari sistemi quando l'ingresso è lo scalino, considerando sistemi che sono già asintoticamente stabili:

Sistemi del primo ordine strettamente propri	$G(s) = \frac{\mu}{(1 + s\tau)}$ $Y(s) = G(s)U(s) = \frac{\mu}{s(1 + s\tau)}$ $\rightarrow y(t) = \mathcal{L}^{-1}[Y(s)] = \mu(1 - e^{-\frac{t}{\tau}})$ <ul style="list-style-type: none"> × Dallo <u>studio di funzione</u> su $y(t)$ troviamo che il grafico parte da 0 con pendenza μ/τ (ricavata dal teorema del valore finale per le derivate) e tende asintoticamente al valore di regime μ × La posizione del polo influenza la velocità della risposta: più il polo è vicino all'asse immaginario, più è grande la costante di tempo e più è lenta la risposta (tempo di assestamento più grande) × Il numero di poli della FdT coincide con l'ordine del sistema poiché il denominatore coincide con il polinomio caratteristico di A
---	--

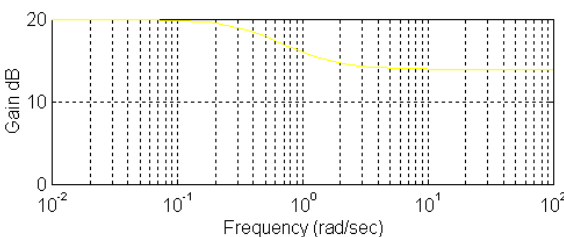
Sistemi del primo ordine non strettamente propri	$G(s) = \frac{\mu(1 + sT)}{(1 + s\tau)}$ $Y(s) = \frac{\mu(1 + sT)}{s(1 + s\tau)}, \quad T = \alpha\tau$ $\rightarrow y(t) = \mu \left[1 + (\alpha - 1) - e^{-\frac{t}{\tau}} \right]$ <ul style="list-style-type: none"> × A seconda del valore di α il grafico si trova sopra o sotto il valore di regime × Se la costante di tempo dello zero T è molto più piccola in valore assoluto della costante τ allora il comportamento è molto simile alla risposta del solo polo
Sistemi del secondo ordine con poli reali distinti	$G(s) = \frac{\mu}{(1 + s\tau_1)(1 + s\tau_2)}$ $Y(s) = \frac{\mu}{s(1 + s\tau_1)(1 + s\tau_2)}$ $y(t) = \mu \left[1 - \frac{\tau_1}{\tau_1 - \tau_2} e^{-\frac{t}{\tau_1}} + \frac{\tau_2}{\tau_1 - \tau_2} e^{-\frac{t}{\tau_2}} \right]$ <ul style="list-style-type: none"> × La costante di tempo più grande, dunque il polo più lento, è la più importante nel determinare l'andamento della risposta
Sistemi del secondo ordine con poli reali distinti e uno zero	$G(s) = \frac{\mu(1 + sT)}{(1 + s\tau_1)(1 + s\tau_2)}$ $Y(s) = \frac{\mu(1 + sT)}{s(1 + s\tau_1)(1 + s\tau_2)}$ $y(t) = \mu \left[1 - \frac{\tau_1 - T}{\tau_1 - \tau_2} e^{-\frac{t}{\tau_1}} + \frac{\tau_2 - T}{\tau_1 - \tau_2} e^{-\frac{t}{\tau_2}} \right]$ <ul style="list-style-type: none"> × In questo caso si ha una <u>sovraelongazione</u> se $T > 0$ (zero negativo) e una <u>sottoelongazione</u> se $T < 0$ (zero positivo) poiché cambia il segno della derivata nel punto iniziale, ovvero la pendenza iniziale della tangente × La sottoelongazione è tanto più grande quanto più è piccolo lo zero rispetto al polo dominante in modulo × La sovraelongazione si ha solo se lo zero è piccolo rispetto al polo dominante
Sistemi del secondo ordine con poli complessi coniugati	$G(s) = \frac{\rho}{(s - \sigma - j\omega)(s - \sigma + j\omega)}$ $Y(s) = \frac{\rho}{s(s - \sigma - j\omega)(s - \sigma + j\omega)}$ $y(t) = \mu \left[1 - \cos(\omega t) e^{\sigma t} + \frac{\sigma}{\omega} \sin(\omega t) e^{\sigma t} \right]$ <ul style="list-style-type: none"> × In questo caso la risposta è ancora esponenziale ma presenta delle oscillazioni, che possono essere molto evidenti oppure quasi nulle × Si può descrivere anche attraverso due nuove quantità dette <u>pulsazione</u> naturale ω_n e <u>smorzamento</u> ξ × La pulsazione naturale rappresenta (al quadrato) il modulo del vettore nel piano di Gauss, lo smorzamento rappresenta la proiezione del vettore sull'asse reale
Pulsazione naturale e smorzamento:	$G(s) = \frac{\rho}{s^2 + 2\omega_n \xi s + \omega_n^2} = \frac{\mu}{1 + 2\frac{\xi}{\omega_n} s + \frac{s^2}{\omega_n^2}}$ $\xi \rightarrow 1 \text{ non ci sono oscillazioni}$ $\xi \rightarrow 0 \text{ oscillazioni importanti}$ <ul style="list-style-type: none"> × ρ costante di trasferimento (forma 2 della FdT) e μ guadagno generalizzato (forma 3) × $-1 < \xi < 1$ ma consideriamo solo i casi con $\xi > 0$

Sistemi di ordine superiore al secondo	<p>Per sistemi di ordine superiore al secondo si ricorre ad un'approssimazione a poli dominanti, ovvero si considera solo il polo più lento, ovvero quello con la costante di tempo più grande, e si ottiene così un sistema del primo ordine</p> <ul style="list-style-type: none"> × I poli dominanti (lenti) sono quelli più vicini all'asse immaginario × Se il polo dominante è reale ce n'è solo uno, se sono complessi coniugati si devono considerare entrambi
---	--

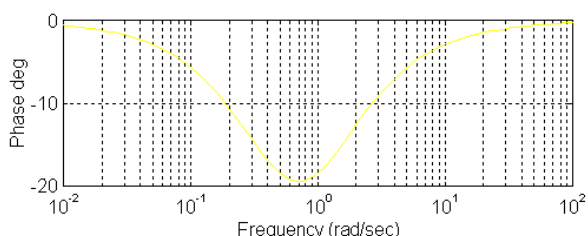
RISPOSTA IN FREQUENZA E RAPPRESENTAZIONE GRAFICA

Risposta alla sinusoide	<p>Studiamo la risposta del sistema ad un segnale armonico</p> $u(t) = A \sin(\omega t) \rightarrow U(s) = \frac{A\omega}{s^2 + \omega^2} \rightarrow Y(s) = G(s)U(s)$ $= \frac{\mu \prod_{i=1}^m (1 + sT_i)}{s^g \prod_{i=1}^n (1 + \tau_i)} \frac{A\omega}{s^2 + \omega^2}$ <p style="text-align: center;">\rightarrow Heaviside e antitrasformata</p> $y(t) = A G(j\omega) \sin(\omega t + \angle G(j\omega))$ <ul style="list-style-type: none"> × Se $u(t)$ è una sinusoide, la risposta $y(t)$ esauriti i transitori sarà ancora una sinusoide con la stessa frequenza ω ma modulo e fase diversi che dipendono dalla risposta in frequenza $G(j\omega)$ × $G(j\omega)$ è la FdT del blocco (dunque $G(s)$) con la trasformazione $s=j\omega$ × Studiare le risposte alle armoniche è importante perché tramite le serie di Fourier si possono ricostruire tutti i segnali a partire da sinusoidi × Per $t \rightarrow \infty$ sopravvive solo il termine che dipende dalla sinusoide poiché $U(s)$ è asintoticamente stabile e $\rightarrow 0$ per $t \rightarrow \infty$
Teorema della risposta in frequenza	<p>Se $\begin{cases} G(s) \text{ è A.S.} \\ u(t) = A \sin(\omega t) \end{cases}$</p> $\Rightarrow y(t) = A G(j\omega) \sin(\omega t + \angle G(j\omega))$ <p style="text-align: center;"><i>indipendentemente dalle condizioni iniziali</i></p> <ul style="list-style-type: none"> × La risposta in frequenza non è $y(t)$ ma è $G(j\omega)$!
Rappresentazione grafica	<p>La risposta in frequenza $G(j\omega)$ si può rappresentare tramite:</p> <ul style="list-style-type: none"> - Diagrammi di Bode di modulo e fase in funzione della frequenza ω - Diagrammi polari nel piano di Gauss

Diagrammi di Bode:

Diagramma di Bode del modulo	 $ G(j\omega) _{dB} = 20 \log_{10} G(j\omega) $ <ul style="list-style-type: none"> × Sull'asse delle ordinate modulo di $G(j\omega)$ in <i>decibel</i> × Sull'asse delle ascisse ω in rad/s suddivise in <i>decadi</i> equidistanziati (scala logaritmica)
Tracciamento diagramma asintotico:	<ol style="list-style-type: none"> Scrivere $G(s)$ nella forma 2 con guadagno e tipo e passare a $G(j\omega)$ $G(s) = \frac{\mu \prod_{i=1}^m (1 + sT_i)}{s^g \prod_{i=1}^n (1 + \tau_i)} \xrightarrow{s=j\omega} G(j\omega)$ <ol style="list-style-type: none"> Se il tipo $g=0$: retta iniziale costante alla quota $\mu_{dB} = 20 \log_{10} \mu$ Se il tipo $g \neq 0$: retta iniziale con pendenza $-g \left(20 \frac{dB}{dec} \right)$ che interseca l'asse a 0 dB in $\bar{\omega} = \mu^{1/g}$ <p>In corrispondenza di uno <u>zero</u>: $+20 \frac{dB}{dec}$ (pendenza +1)</p> <p>In corrispondenza di un <u>polo</u>: $-20 \frac{dB}{dec}$ (pendenza -1)</p> <ul style="list-style-type: none"> × L'errore massimo tra diagramma asintotico e reale è di 3 dB in corrispondenza delle singolarità (poli e zeri)

		<ul style="list-style-type: none"> × Se ci sono più singolarità nello stesso punto si sommano i contributi di ciascuna × Zeri complessi coniugati hanno la stessa parte reale dunque contano come due singolarità reali in $\omega = \omega_n$ (contributo di +20 o -20 dB/dec); errore massimo di 6 dB × Per singolarità complesse lo smorzamento ξ modifica solo l'andamento reale e non quello asintotico (sovra- o sottoelongazioni) × Caso particolare: per $\xi=0$ il diagramma reale va bruscamente a zero se è uno zero e va a infinito se è un polo (il diagramma asintotico rimane uguale)
--	--	---

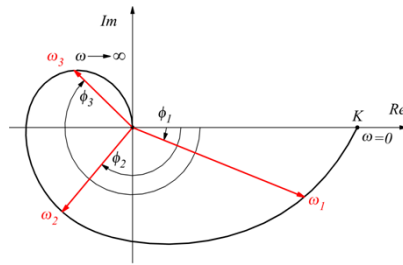
Diagrammi di Bode della fase										
	<ul style="list-style-type: none">× Sull'asse delle ordinate fase di $G(j\omega)$ in <u>gradi centigradi</u>× Sull'asse delle ascisse ω in rad/s suddivise in <u>decadi</u> equidistanziate (scala logaritmica)									
Tracciamento diagramma asintotico:	<div><div><div>1. Retta orizzontale iniziale con valore $V_i = \angle \mu - 90^\circ$ con $\angle \mu = 0^\circ$ se $\mu > 0$ e $\angle \mu = -180^\circ$ se $\mu < 0$</div><div>2.<table><tr><td></td><td>sx</td><td>dx</td></tr><tr><td>Poli</td><td>-90°</td><td>$+90^\circ$</td></tr><tr><td>Zeri</td><td>$+90^\circ$</td><td>-90°</td></tr></table></div></div><div><ul style="list-style-type: none">× Il contributo delle singolarità per il diagramma della fase dipende dal segno della loro <u>parte reale</u> (sx o dx)× Come per il modulo i complessi coniugati danno un contributo doppio× Dopo aver tracciato il diagramma lo si riporta sempre nell'intervallo $(-180^\circ, +180^\circ)$ per convenzione</div></div>		sx	dx	Poli	-90°	$+90^\circ$	Zeri	$+90^\circ$	-90°
	sx	dx								
Poli	-90°	$+90^\circ$								
Zeri	$+90^\circ$	-90°								

Caso particolare: sistemi a fase minima:

Definizione	<p>I sistemi a fase minima sono sistemi con:</p> $\begin{cases} \mu > 0 \\ \text{poli e zeri con } Re \leq 0 \end{cases}$										
Diagrammi	<p>Una volta tracciato il diagramma del modulo è possibile dedurre univocamente quello della fase (in generale impossibile senza conoscere $G(s)$)</p> <table border="0" data-bbox="590 1680 1268 1803"> <thead> <tr> <th><u>Diagramma del modulo</u></th><th></th><th><u>Diagramma della fase</u></th></tr> </thead> <tbody> <tr> <td>Polo (pendenza -1)</td><td>→</td><td>-90°</td></tr> <tr> <td>Zero (pendenza +1)</td><td>→</td><td>$+90^\circ$</td></tr> </tbody> </table>		<u>Diagramma del modulo</u>		<u>Diagramma della fase</u>	Polo (pendenza -1)	→	-90°	Zero (pendenza +1)	→	$+90^\circ$
<u>Diagramma del modulo</u>		<u>Diagramma della fase</u>									
Polo (pendenza -1)	→	-90°									
Zero (pendenza +1)	→	$+90^\circ$									

Diagrammi polari:

Diagramma polare

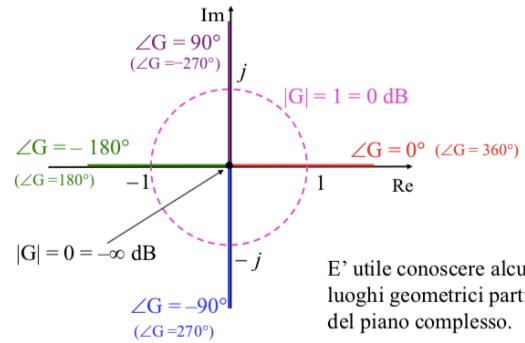


$G(j\omega)$ rappresentato nel piano di Gauss. Il diagramma polare si può tracciare a partire dai diagrammi di Bode e rappresenta l'andamento di modulo e fase della risposta in frequenza $G(j\omega)$ al crescere di ω tra $[0, +\infty]$

- × Il diagramma del modulo è in decibel (scala log), dunque:

$$|G(j\omega)| = 1 = 0dB$$

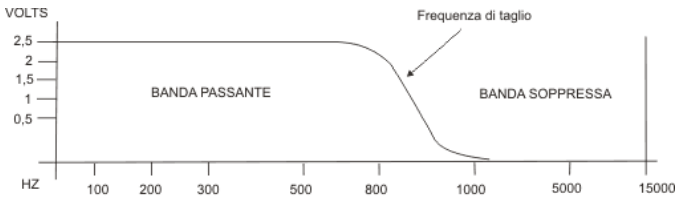
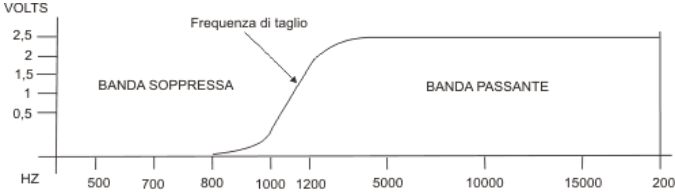
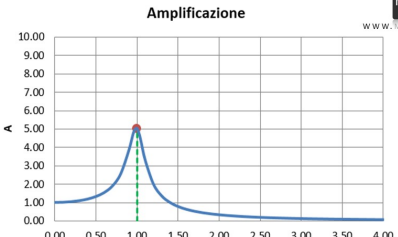
$$|G(j\omega)| = 0 = -\infty dB$$



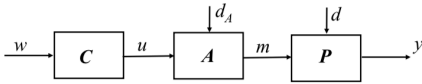
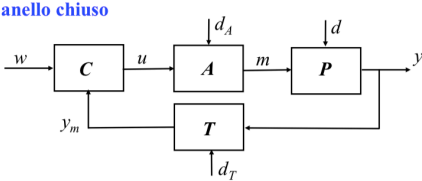
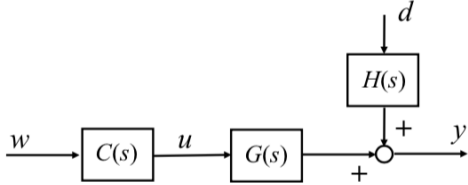
E' utile conoscere alcuni luoghi geometrici particolari del piano complesso.

- × Studio di funzione nel piano complesso
- × Il diagramma della fase su cui ci si basa va riportato nell'intervallo $(-180^\circ, +180^\circ)$ solo DOPO aver tracciato il diagramma polare per non sbagliare
- × Per ottenere i valori iniziali e finali si sostituisce $\omega = 0$ e $\omega = \infty$ nella formula analitica di $G(j\omega)$ (limite)
- × I diagrammi polari sono utili nell'analisi della stabilità dei retroazionati (Nyquist, ecc..) e saranno quindi meglio analizzati in seguito

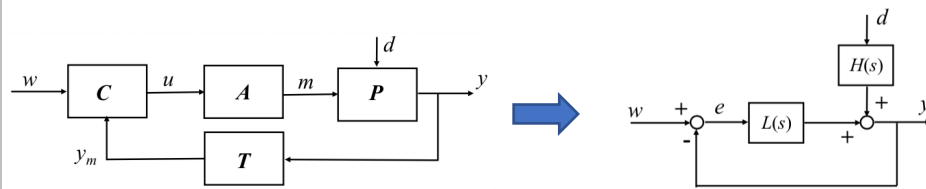
AZIONE FILTRANTE DEI SISTEMI DINAMICI

Azione filtrante	<p>Un sistema dinamico, lineare e stazionario ha un'azione filtrante sul segnale in ingresso. Il sistema non può generare armoniche in uscita assenti nello spettro del segnale di ingresso, ma può amplificare o attenuare e sfasare quelle presenti</p> <ul style="list-style-type: none"> × La risposta in frequenza consente di calcolare la risposta a qualsiasi ingresso, poiché determina come si modificano le componenti armoniche dell'ingresso. In questo senso un sistema dinamico asintoticamente stabile si può vedere sempre come un filtro × In presenza di un ingresso sinusoidale del tipo $u(t) = A_u \sin(\bar{\omega} t + \varphi_u)$, per il teorema della risposta in frequenza si ha una risposta del tipo $y(t) = A_y \sin(\bar{\omega} t + \varphi_y)$. Conoscendo A_u, φ_u e sapendo i valori desiderati per A_y, φ_y si possono progettare le caratteristiche del canale $G(j\omega)$
Filtri passa-basso	<p>Lascia passare inalterate o al più amplificate di un valore costante le armoniche del segnale in ingresso con pulsazione inferiore od uguale a $\bar{\omega}$ ed elimina le armoniche con pulsazione superiore. L'intervallo $[0, \bar{\omega}]$ è detto banda passante</p>  <p style="text-align: center;">Banda passante: $-3dB \leq G(j\omega) _{dB} - G(j0) _{dB} \leq +3dB$</p> <ul style="list-style-type: none"> × Passano solo le frequenze iniziali fino a $\bar{\omega}$ × Come si è già visto 3dB è l'errore massimo tra il digramma asintotico e quello reale dei diagrammi di Bode
Filtro passa-alto	<p>Lascia passare inalterate o al più amplificate di un valore costante le armoniche del segnale in ingresso con pulsazione superiore od uguale a $\bar{\omega}$ ed elimina le armoniche con pulsazione inferiore. L'intervallo $[\bar{\omega}, \infty]$ è detto banda passante</p>  <p style="text-align: center;">Banda passante: $-3dB \leq G(j\omega) _{dB} - G(j\infty) _{dB} \leq +3dB$</p> <ul style="list-style-type: none"> × In generale sono sistemi non strettamente propri × Passano solo le frequenze da una certa $\bar{\omega}$ in poi
Risonanza	<p>Per valori bassi dello smorzamento ξ le componenti armoniche del segnale in ingresso con pulsazione vicina a ω_n vengono amplificate in modulo (amplificazione selettiva)</p>  <p style="text-align: right;">Per $\xi > 0.4$ si ha un filtro passa-basso Per $\xi < 0.4$ si ha amplificazione selettiva</p> <ul style="list-style-type: none"> × Questo fenomeno può essere pericoloso ad esempio per i ponti, poiché per frequenze vicine a ω_n gli impulsi vengono amplificati molto e potrebbero avere effetti dannosi sulla struttura

SISTEMI DI CONTROLLO

Problema di controllo	<p>È necessario progettare il controllore C in modo che l'uscita y abbia il valore desiderato</p> <p>in anello aperto</p>  <p>in anello chiuso</p>  <p>A: attuatore C: controllore w: ingresso del controllore u: uscita del controllore (ingresso per il sistema) y: uscita del sistema d: disturbo</p> <p>× Si ipotizza che tutti i blocchi siano lineari (eventualmente linearizzati)</p>				
Requisiti	<p>Il sistema di controllo deve avere le seguenti proprietà:</p> <ol style="list-style-type: none"> <u>Stabilità</u> <u>Precisione statica</u> ($y \approx w$ in condizioni di equilibrio) <u>Precisione dinamica</u> ($y \approx w$ durante i transitori) <u>Attenuazione dei disturbi</u> ($y \approx w$ anche con disturbi) <u>Moderazione</u> (u piccola in situazioni di interesse) <u>Robustezza</u> (garanzia delle precedenti proprietà anche in presenza di imprecisioni sul modello) 				
Sistemi in anello aperto	<div data-bbox="683 936 1153 1120" data-label="Diagram">  </div> <table border="1" data-bbox="419 1142 1442 1783"> <tr> <td data-bbox="419 1142 702 1411"> Prestazioni ideali: </td><td data-bbox="710 1142 1442 1411"> <p>Vogliamo che l'uscita sia asintoticamente uguale all'ingresso e che il disturbo abbia il minor impatto possibile</p> $\frac{Y(s)}{W(s)} = C(s)G(s) \sim 1 \quad \text{"passa-tutto"}$ $\frac{Y(s)}{D(s)} = H(s) \sim 0 \quad \text{"passa-niente"}$ </td></tr> <tr> <td data-bbox="419 1422 702 1783"> Limitazioni: </td><td data-bbox="710 1422 1442 1783"> <p>In anello aperto non è possibile costruire un controllore ideale poiché:</p> <ol style="list-style-type: none"> Possono esserci <i>dinamiche nascoste</i> (cancellazioni di poli o zeri con $\text{Re} > 0$) Problema di <i>realizzabilità</i> (n. poli \geq n. zeri affinché sia realizzabile) <i>Scarsa robustezza</i> (se c'è incertezza non si può mai ottenere prestazioni ideali) Non si può agire sul <i>disturbo</i> per azzerarne gli effetti poiché H(s) non si può controllare </td></tr> </table>	Prestazioni ideali:	<p>Vogliamo che l'uscita sia asintoticamente uguale all'ingresso e che il disturbo abbia il minor impatto possibile</p> $\frac{Y(s)}{W(s)} = C(s)G(s) \sim 1 \quad \text{"passa-tutto"}$ $\frac{Y(s)}{D(s)} = H(s) \sim 0 \quad \text{"passa-niente"}$	Limitazioni:	<p>In anello aperto non è possibile costruire un controllore ideale poiché:</p> <ol style="list-style-type: none"> Possono esserci <i>dinamiche nascoste</i> (cancellazioni di poli o zeri con $\text{Re} > 0$) Problema di <i>realizzabilità</i> (n. poli \geq n. zeri affinché sia realizzabile) <i>Scarsa robustezza</i> (se c'è incertezza non si può mai ottenere prestazioni ideali) Non si può agire sul <i>disturbo</i> per azzerarne gli effetti poiché H(s) non si può controllare
Prestazioni ideali:	<p>Vogliamo che l'uscita sia asintoticamente uguale all'ingresso e che il disturbo abbia il minor impatto possibile</p> $\frac{Y(s)}{W(s)} = C(s)G(s) \sim 1 \quad \text{"passa-tutto"}$ $\frac{Y(s)}{D(s)} = H(s) \sim 0 \quad \text{"passa-niente"}$				
Limitazioni:	<p>In anello aperto non è possibile costruire un controllore ideale poiché:</p> <ol style="list-style-type: none"> Possono esserci <i>dinamiche nascoste</i> (cancellazioni di poli o zeri con $\text{Re} > 0$) Problema di <i>realizzabilità</i> (n. poli \geq n. zeri affinché sia realizzabile) <i>Scarsa robustezza</i> (se c'è incertezza non si può mai ottenere prestazioni ideali) Non si può agire sul <i>disturbo</i> per azzerarne gli effetti poiché H(s) non si può controllare 				

Sistemi in anello chiuso (retroazionati)



Funzione d'anello (loop function): $L(s) = T(s)C(s)A(s)P(s)$

Errore di inseguimento: $e = w - y$

Prestazioni ideali:

Vogliamo che l'uscita sia asintoticamente uguale all'ingresso e che il disturbo abbia il minor impatto possibile

$$\frac{Y(s)}{W(s)} = \frac{L(s)}{1 + L(s)} \sim 1 \quad \text{"passa-tutto"}$$

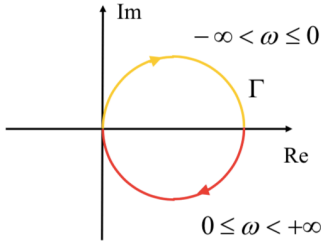
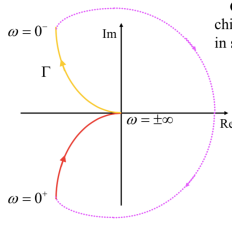
$$\frac{Y(s)}{D(s)} = \frac{H(s)}{1 + L(s)} \sim 0 \quad \text{"passa-niente"}$$

Vantaggi:

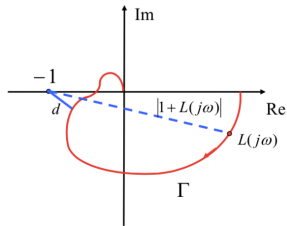
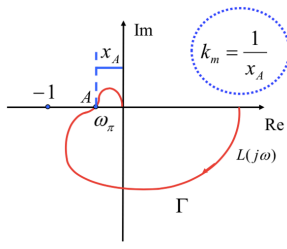
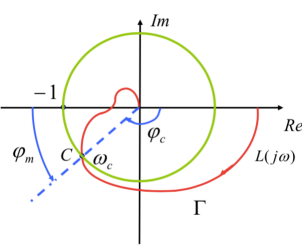
I sistemi in anello chiuso sono migliori perché:

1. La *stabilità* si ottiene dalla stabilità di $H(s)$ e quella di $L(s)/(1+L(s))$
2. *Robustezza*
3. L'azione del *disturbo* si può controllare, infatti Y/D dipende da $L(s)$ e dunque da $C(s)$

STABILITÀ DI SISTEMI RETROAZIONATI

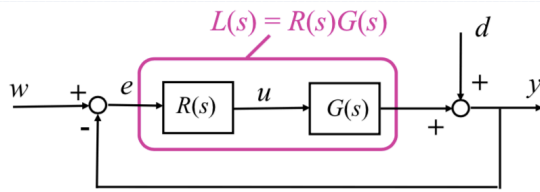
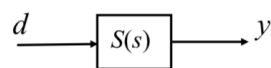
Stabilità	<p>Affinchè il sistema sia stabile deve essere stabile la sua FdT, ovvero</p> $\frac{Y(s)}{W(s)} = \frac{L(s)}{1 + L(s)} = \frac{N(s)}{D(s) + N(s)} \text{ stabile} \Leftrightarrow \operatorname{Re}\{\text{radici } D(s) + N(s)\} < 0$ <ul style="list-style-type: none"> × N(s) numeratore di L(s), D(s) denominatore di L(s) × Per studiare la stabilità del sistema però non si analizza quasi mai il segno delle radici di D(s)+N(s), eventualmente con la tabella di Routh, ma si usano metodi grafici, come ad esempio il criterio di Nyquist
Diagramma di Nyquist	<p><u>Curva chiusa orientata</u> nel piano di Gauss che si ottiene ribaltando il diagramma polare rispetto all'asse reale</p> <div style="display: flex; align-items: center; justify-content: center;">  <div style="margin-left: 20px;"> <p style="color: red; text-align: center;">↓</p> <p style="color: red; text-align: center;">diagramma polare</p> <p style="text-align: center;">+</p> <p style="color: orange; text-align: center;">simmetrico rispetto all'asse reale</p> $L(-j\omega) = \overline{L(j\omega)}$ </div> </div> <ul style="list-style-type: none"> × Mentre il diagramma polare rappresenta G(jω) per ω compreso tra [0,+∞] quello di Nyquist è per ω compreso tra [-∞,+∞]; la parte per ω compreso tra [-∞,0] si ottiene semplicemente ribaltando il diagramma polare <div style="display: flex; align-items: flex-start;"> <div style="flex: 1;"> <p>Casi particolari:</p> <ol style="list-style-type: none"> 1. Se il <u>diagramma polare va a ±∞</u> il diagramma di Nyquist si chiude all'infinito in senso <i>orario</i> 2. Se il sistema ha un <u>polo nell'origine</u> è necessario deformare l'asse Im con una circonferenza infinitesima di raggio ε con centro nell'origine in modo da ottenere un diagramma di Nyquist chiuso </div> <div style="flex: 1; text-align: right;">  </div> </div>
Criterio di Nyquist	<p>In caso di <u>retroazione negativa</u>, detto N il numero di giri <i>antiorari</i> del diagramma di Nyquist attorno al punto -1 e P il numero di poli di L(s) con Re>0 si ha che:</p> $\text{Retroazionato A.S.} \Leftrightarrow \begin{cases} N \text{ ben definito} \\ N = P \end{cases}$ <ul style="list-style-type: none"> × È una CNS × Fa riferimento all'intera funzione ad anello del sistema, quindi a L(s) (non C(s)!) × Se i giri sono <i>antiorari</i> N>0, se i giri sono <i>orari</i> N<0 × P invece può essere solo un numero positivo × Se N<0 il criterio è sicuramente non verificato (ciò significa che il sistema non è AS, non che è instabile, quindi potrebbe essere comunque stabile semplicemente) × Anche se N non è ben definito il criterio non è verificato dunque il sistema non è AS, ad esempio se il diagramma di Nyquist passa per il punto -1 × Se P=0 il sistema è AS solo nel caso in cui il diagramma sia molto distante da -1, in modo che anche N=0 × In caso di <u>retroazione positiva</u> si devono guardare i giri attorno al punto +1, mentre tutto il resto rimane invariato × Il criterio di Nyquist è valido in condizioni nominali, ovvero ideali; quando siamo in condizioni reali bisogna fare riferimento alla stabilità robusta

Stabilità robusta:

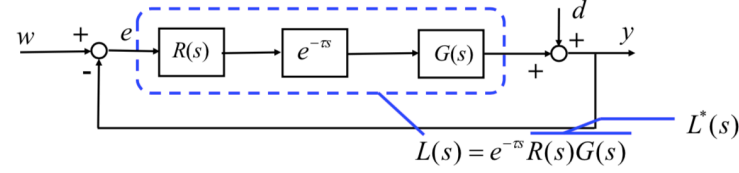
Incertezze	<p>La stabilità robusta è la garanzia di stabilità anche quando sono presenti delle incertezze nel modello. L'incertezza può essere rappresentata da diversi tipi di modello, ad esempio:</p> <ul style="list-style-type: none"> - Incertezza additiva limitata al modulo (modello vero=modello nominale\pmincertezza) - Incertezza sul guadagno della funzione (modello vero=k modello nominale)
Indicatori di stabilità robusta	<p>Quantità che permettono di definire le condizioni di stabilità robusta.</p> <p>Consideriamo un sistema con $P=N=0$: trovare gli indicatori di stabilità significa valutare di quanto può variare il diagramma di Nyquist affinché le ipotesi del criterio di Nyquist non vengano violate. Si prende come riferimento il punto critico $(-1;0)$</p> <ul style="list-style-type: none"> × L'indicatore di robustezza può essere rispetto a incertezze sul guadagno (margine di guadagno k_m) oppure incertezze sul ritardo dell'anello (margine di fase φ_m) × Non è sempre possibile calcolare il margine di guadagno o di fase analiticamente × Sono indicatori <i>approssimati</i> e non sempre valgono come criteri di stabilità <div data-bbox="419 705 662 952"> <p>Margine di stabilità vettoriale (d):</p> <p>Indica qual è la distanza minima del diagramma dal punto $(-1;0)$, che deve essere massimizzata per rimanere in condizioni di stabilità</p> $d = \min 1 + L(s)$  </div> <div data-bbox="419 952 662 1355"> <p>Margine di guadagno (k_m):</p> <p>Definisce la massima perturbazione tollerabile sul modulo della $L(s)$ a parità di fase prima che il sistema diventi instabile, ovvero prima che il diagramma incontri il punto $(-1;0)$ lungo l'asse reale</p> $k_m = \frac{1}{ L(j\omega_\pi) } = - L(j\omega_\pi) _{dB}$ <p style="text-align: center;"><i>Instabile se $k_m < 1$</i> <i>A.S. se $k_m > 1$</i></p>  </div> <div data-bbox="419 1355 662 1960"> <p>Margine di fase (φ_m):</p> <p>Definisce la massima perturbazione tollerabile sulla fase della $L(s)$ a parità di modulo prima che il sistema diventi instabile, ovvero prima che il diagramma incontri il punto $(-1;0)$ lungo la circonferenza di raggio unitario</p> $\varphi_m = 180^\circ - \varphi_c$ <p style="text-align: center;"><i>Instabile se $\varphi_m < 0$</i> <i>A.S. se $\varphi_m > 0$</i></p> <ul style="list-style-type: none"> × φ_c fase critica, ovvero angolo in corrispondenza del quale il diagramma interseca la circonferenza di raggio unitario $\varphi_c = \arg L(j\omega_c) \quad , \quad \omega_c: L(j\omega_c) = 1$ × A parità di incertezza una fase critica più piccola garantisce maggiore robustezza  </div>
	<p>k_m e φ_m si possono valutare anche dai diagrammi di Bode di modulo e fase rispettivamente come differenze verticali o orizzontali tra ω_c e ω_π</p>

Criterio di Bode	<p>Criterio per la stabilità dei retroazionati</p> <p><i>Ipotesi:</i> 1. $P = 0$ 2. <i>Il diagramma di Bode del modulo di $L(s)$ attraversa una sola volta l'assea 0dB</i></p> <p><i>Allora se</i> $\begin{cases} \mu > 0 \\ \varphi_m > 0^\circ \end{cases} \Leftrightarrow \text{Sistema A.S}$</p> <ul style="list-style-type: none"> × μ guadagno della $L(s)$, φ_m margine di fase × È come il criterio di Nyquist ma le sue condizioni di applicabilità sono molto più ristrette × La seconda ipotesi equivale a dire che la $L(j\omega)$ attraversa una sola volta la circonferenza di raggio unitario nel piano di Gauss
-------------------------	--

ANALISI DELLE PRESTAZIONI DEI SISTEMI RETROAZIONATI

Funzioni di sensitività	<p>Sono particolari FdT che danno informazioni sulle performance del sistema in retroazione</p> <div style="display: flex; align-items: center;">  <div style="margin-left: 20px;"> $F(s) = \frac{Y(s)}{W(s)} = \frac{L(s)}{1 + L(s)}$ $S(s) = \frac{E(s)}{W(s)} = \frac{1}{1 + L(s)}$ $Q(s) = \frac{U(s)}{W(s)} = \frac{R(s)}{1 + L(s)}$ </div> </div> <ul style="list-style-type: none"> × R(s) è detto regolatore × Tutte le funzioni di sensitività hanno lo stesso denominatore (infatti poiché descrivono lo stesso sistema devono avere gli stessi poli) × Errore di inseguimento $e=w-y$ <div style="display: flex; justify-content: space-between; margin-top: 10px;"> <div style="border: 1px solid black; padding: 5px; width: 30%;"> Prestazioni ideali: </div> <div> $F(s) \rightarrow 1$ $S(s) \rightarrow 0$ $Q(s) \rightarrow 0$ </div> </div>
Funzione di sensitività complementare F(s)	$F(s) = \frac{Y(s)}{W(s)} = \frac{L(s)}{1 + L(s)} \xrightarrow{\text{prestazioni ideali}} \sim 1$ <ul style="list-style-type: none"> × È il complementare a 1 della funzione di sensitività S(s) × Dallo studio delle prestazioni statiche (risposta allo scalino) si trova che il suo guadagno è $\mu_F \cong 1$ × Dallo studio della sua risposta in frequenza F(jω) si trova che F(s) è un filtro passa-basso × I suoi poli dominanti cadono in corrispondenza della frequenza critica ω_c
Funzione di sensitività S(s)	<p>Da informazioni sulla risposta del sistema ai disturbi</p> $S(s) = \frac{E(s)}{W(s)} = \frac{1}{1 + L(s)} \xrightarrow{\text{prestazioni ideali}} \sim 0$ <div style="display: flex; align-items: center; margin-top: 10px;">  </div> <ul style="list-style-type: none"> × Dallo studio delle prestazioni statiche (risposta allo scalino e alla rampa) si evince che la capacità del sistema di reiettare un disturbo dipende dal <u>tipo di disturbo</u> × Dallo studio della sua risposta in frequenza S(jω) si trova che S(s) è un filtro passa-alto e il disturbo viene attenuato solo in $[0; \omega_c]$ <p style="text-align: center; margin-top: 20px;"><u>Principio del modello interno:</u></p> <p>Per poter reiettare un disturbo la funzione ad anello L(s) deve contenere il modello del disturbo. Ad esempio se il disturbo è uno scalino D(s)=1/s, la funzione ad anello L(s) deve contenere il termine 1/s per poter elidere il disturbo.</p>
Funzione di sensitività del controllo Q(s)	<p>Esprime l'aggressività dell'ingresso: il regolatore deve fare in modo che sia debole, in modo tale da non danneggiare il sistema</p> $Q(s) = \frac{U(s)}{W(s)} = \frac{R(s)}{1 + L(s)} \xrightarrow{\text{prestazioni ideali}} \sim 0$ <ul style="list-style-type: none"> × Dallo studio della risposta in frequenza si evince che Q(jω) segue inizialmente l'andamento di $- G(j\omega)$ in $[0; \omega_c]$ e poi quello di $R(j\omega)$ in $[\omega_c; +\infty]$

EFFETTO DELLE NON-IDEALITÀ

Effetto di un ritardo	 <ul style="list-style-type: none"> × Il ritardo può influenzare la stabilità (infatti potrebbe sfasare il diagramma di Nyquist e fargli fare un giro attorno a -1) × Non modifica le prestazioni statiche né ω_c × Fa diminuire φ_m poiché fa aumentare φ_c
Effetto dei disturbi	<p>(Disturbo sull'uscita, sull'attuatore, sul trasduttore)</p>

TEORIA:

INTRODUZIONE AL PROGETTO

Specifiche di progetto	Il controllore deve essere progettato in modo tale da soddisfare alcune caratteristiche: <ul style="list-style-type: none">- Stabilità in condizioni nominali (criterio di Bode)- Stabilità robusta (margin di fase e modulo elevati)- Precisione statica e dinamica- Attenuazione dei disturbi, sia in andata sia in retroazione- Moderazione del controllo- Realizzabilità del regolatore
Progetto in “loop-shaping”	Metodo di progettazione che consiste nel tradurre le specifiche di progetto in vincoli su $L(s)$, scegliere una $R(s)$ inizialmente semplice e poi modificarla per <u>tentativi</u> successivi in modo tale che rispetti le specifiche di progetto (ad ogni tentativo verificarne poi il corretto funzionamento). × I progetti per sistemi a fase minima si fanno generalmente in loop shaping

CONTROLLORI PID

PID	Controllore <i>standard</i> usato prevalentemente in passato che si tarava direttamente sui sistemi). PID è un acronimo e sta per: P → proporzionale → valuta l'entità dell'errore (più errore, più controllo) I → integrale → valuta il valor medio dell'errore D → derivata → valuta la tendenza dell'errore
------------	---